

بررسی چرخدنگی در بادپناه کوهستان زاگرس (دوره ۱۹۹۹ - ۲۰۰۵)

سعید جهانبخش^۱

علی محمد خورشید دوست^۲

همید میرهاشمی^۳

چکیده

دامنه بادپناه کوهستان‌های میان مقیاس و بزرگ مقیاس مکان‌های مناسبی برای چرخدنگی بادپناه محسوب می‌شوند. این پژوهش با توجه به هندسه، جهت‌گیری و موقعیت کوهستان زاگرس، جهت بررسی گونه‌ای از چرخدنگی در بادپناه آن انجام گرفته است. بدین منظور از متغیرهای دما، ارتفاع رُئوپتانسیل، سرعت باد در راستای مداری و نصف‌النهاری، تاوایی پتانسیل و رطوبت ویژه نگاشته شده در مرکز ECMWF استفاده شد. بررسی‌ها نشان داد که وجود یک چرخدنگ اولیه در پیش‌باد زاگرس برای ایجاد چرخدنگی در بادپناه آن ضرورت دارد. در این خصوص مشخص شد که چرخدنگ‌های اولیه با احتساب به جریان‌های شمال غربی و جنوب غربی تراز میانه جو، در دو شرایط همدید متفاوت به زاگرس نزدیک شده و در فرایند چرخدنگی بادپناهی دخالت می‌کنند. به عبارتی بر حسب عرض چهارمیابی چرخدنگ اولیه و چگونگی آرایش پشته - ناوه تراز ۵۰۰ هکتوپاسکال، مسیر چرخدنگ‌های نزدیک شونده به زاگرس متفاوت هستند. د. نهادت نتایج نشان دادند که حن. ح خندزار در زاگرس براساس تئوری تعديل اروگرافیکی کشفواری ناپایدار قابل تبیین است.

۱ - استاد آب و هواشناسی، دانشگاه تبریز.

۲ - استاد آب و هواشناسی، دانشگاه تبریز.

۳ - دانشجوی دکتری اقلیم‌شناسی، دانشگاه تبریز.(نویسنده مسئول)

واژه‌گان کلیدی: چرخندزایی بادپناه، جبهه بندآمده، تاوایی پتانسیل، همشاری، واشاری.

مقدمه

کوهستان‌های مرتفع و پهن همچون سد بزرگی در مقابل شارش‌های جوی، علاوه بر تغییر مسیر آنها باعث تفاوت این شارش‌های جوی در دو سوی کوهستان می‌شوند. اثر دائمی رشته کوه‌ها بر روی سیستم جو سبب می‌شود تا مناطق اطراف آنها از نظر آب و هوایی با هم اختلاف پیدا کنند (مرادی و همکاران، ۱۳۸۶: ۱۳۵). کوهستان‌ها با توجه به ارتفاع، هندسه و جهت‌گیری که دارند بر جریان‌های جوی تأثیر می‌گذارند. بنابراین کوهستان‌ها موجب تشکیل، تشدید و یا تضعیف بسیاری از پدیده‌های جوی می‌شوند. یکی از بارزترین این پدیده‌ها، چرخند بادپناه است که تشکیل و تکامل آن منوط به اندرکنش بین کوهستان و جریان‌های جوی بوده. دامنه‌های بادپناه کوهستان‌های بزرگ مقیاس و میان مقیاس همچون کوهستان آلپ، راکی، شرق آسیا و آندهای قاره آمریکا مناطق بهینه‌ی چرخندزایی محسوب می‌شوند. بنابر تعريف، چرخندزایی بادپناه^۱ عبارت از شکل‌گیری یک چرخند با تاوایی قائم مثبت قوی، یا یک افت قابل توجه در فشار با یک گردش بسته شده‌ای در دامنه بادپناه کوهستان (چانگ و همکاران^۲، ۱۹۷۶: ۸۸۱). در این خصوص بیشترین مطالعات در مورد چرخندزایی بادپناه کوهستان‌های آلپ و راکی انجام گرفته است. به طوری که شناخت کلی در مورد سازکار چرخندزایی بادپناه از مطالعات انجام شده در مورد این دو کوهستان و بخصوص به علت انجام پروژه آلپ (ALPEX)^۳ در سال ۱۹۸۲ بدست آمده است. به عبارتی چارچوب کلی سازوکارهایی که امروزه در مورد چرخندزایی بادپناه وجود دارد براساس نتایجی است که از مطالعه چرخندزایی بادپناه آلپ و راکی بدست آمده است. بر این اساس دو تئوری شامل تئوری امواج کثشار بادپناه (اسمیت^۴، ۱۹۸۴) و تئوری تغییر سازی اورگرافیکی ناپایداری کثشار (اسپرنسا

1. Lee cyclogenesis

2. Chung. et al

3.Alpine Experiment

4. Smith



و همکاران^۱، ۱۹۸۵ (۱۵۳۳: ۱۹۸۵) در مورد چرخندزایی بادپناه ارائه شده است. پژوهش‌های انجام شده در مورد چرخندزایی بادپناه کوهستان آلب، دو تیپ چرخندزایی بادپناهی را بر حسب جریان‌های جنوب غربی و شمال غربی تراز بالا در این منطقه شناسایی کردند که به ترتیب مرتبط با تئوری‌های یاد شده در بالا می‌باشند (پیچلر و استینکر^۲، ۱۹۸۷: ۱۱۱). در واقع این دو تئوری بیانگر سازکار کلی چرخندزایی بادپناه هستند. مطالعات صورت گرفته در مورد سایر کوهستان‌ها نشان می‌دهند که چرخندزایی بادپناه در آن مناطق نیز در قالب یکی از این دو تئوری قابل شرح است. به عنوان نمونه مطالعات انجام شده در مورد چرخندزایی بادپناه کوهستان راکی میین آن هستند که چون وجود یک چرخند اولیه در دامنه روبه باد کوهستان راکی پیش شرط چرخندزایی در دامنه بادپناه آن است لذا چرخندزایی در این منطقه نیز با استفاده از تئوری تعديل‌سازی اورگرافیکی ناپایداری کژفشار تشریح می‌شود (دیویس^۳ ۱۹۹۷: ۸۵۰).

نیوتن^۴ (۱۹۵۶: ۵۲۸) با در نظر گرفتن چرخه عمر چرخند مخربی که در طی روزهای ۱۶ تا ۲۱ نوامبر ۱۹۴۸ در ایالات متحده رخ داده بود به بررسی سازوکار تغییر گردش در طی چرخندزایی بادپناه پرداخت. نتایج حاصل از مطالعه وی نشان داد که چرخندزایی، زمانی و در مکانی مشخص‌تر است که حرکات بالاسو در وردسپهر میانه (در زیر محور رودبار و نزدیک انحنای بین ناوه و پشتہ) منطبق بر نواری از بیشینه نزول در سطح باشد. تیبالدی و همکاران^۵ (۱۹۹۰: ۱۰۷) با مطالعه چرخندزایی بادپناه در کوهستان آلب، خصوصیات کلی این پدیده را به صورت ذیل ارائه دادند، ۱- چرخندزایی بادپناه در آلب غالباً همراه با یک ناوه مقیاس همدید از پیش موجود یا چرخندی که با اروگرافی اندرکنش دارد اتفاق می‌افتد. ۲- توسعه چرخند بادپناه قبل از اینکه یک تباین گرمایی قوی مرتبط با نفوذ جبهه سرد در بادپناه کوهستان شکل بگیرد، شروع می‌شود. ۳- دو فاز تعمیق برای این چرخندها وجود دارد در فاز اول یک چرخند به طور بسیار سریع اما به طور سطحی توسعه می‌یابد (یعنی عمق قائم آن اندک است)

1. Speranza, et al

2. Pichler and Steinacker

3. Davis

4. Newton

5. Tibaldi, et al

در فاز دوم چرخند با سرعت کمتر اما در سراسر کل وردسپهر گستردہ می‌شود. هابس و همکاران^۱ (۱۹۹۶: ۱۱۶۹) یک مدل مفهومی جدید را برای چرخندگان ایجاد شده در بادپناه کوهستان‌های راکی ارائه نمودند. ایشان با آزمون قرار دادن چرخندگان با مدل مفهومی‌شان به این نتیجه رسیدند که وقتی یک ناوه موج کوتاه به طرف شرق ببروی کوهستان‌های راکی و به داخل ایالات متحده حرکت می‌کند به پیرو آن خصوصیات مهمی ممکن است شکل بگیرد: (الف) یک ناوه خشک (یعنی ناوه بادپناهی که دارای خصوصیات خط خشک است) (ب) یک جبهه قطبی، یک رودباد تراز پایین و دو باند بارشی مقیاس همدید (به نامهای باند بارشی جبهه سرد بالای و باند بارشی پیش از ناوه خشک) که می‌توانند بارش سنگین و وضع هوای طاقت‌فرسایی را در جلوی ناوه خشک ایجاد کنند. شولتز و داسول^۲ (۲۰۰۰: ۱۵۲) با در نظر گرفتن اینکه مدل‌های پیش‌بینی، غالباً در پیش‌بینی زمانی و مکانی چرخندگانی بادپناه همراه با خطا هستند، سعی نمودند که به طور فیزیکی روشی را جهت یافتن چنین خطاها بی پیدا کنند. ایشان با ردیابی یک کمینه فشار از ساحل غربی آمریکای شمالی تا بادپناه کوهستان راکی دریافتند که ورود کمینه فشار به شبکه‌های بادپناه کوهستان راکی همزمان با دور شدن ناوه بادپناه از کوهستان است و از سویی با مشاهده اینکه تغییرات دمای ایستگاه‌ها همزمان با ورود این ناوه فشار، با دمای‌های معمولی که مرتبط با عبور جبهه هستند، سازگاری ندارند، نتیجه گرفتند که ناوه فشار متحرک ببروی غرب آمریکای شمالی مشابه یک جبهه نبوده بلکه یک ناوه غیرجهه‌ی است. به طوری که دلیل مهاجرت ناوه فشار را ناشی از بیشینه تاوایی تراز بالا ذکر کردند که عهده‌دار چرخندگانی بادپناه است. ایوانز و براون^۳ (۱۹۷۲: ۷۳۲۸) با بررسی اقلیم‌شناسی چرخندگان جنب حاره‌ای در اطلس جنوبی دریافتند که این چرخندگان برخلاف چرخندگان اطلس شمالی به طور نسبتاً یکنواختی در طی سال انفاق می‌افتدند. با این حال، مکان پیدایش و سازوکارهای عهده‌دار این پیدایش، تغییرپذیری فصلی را نشان دادند. همچنین شکسته شدن موج رزبای که به عنوان سازوکار عهده‌دار شروع تاوایی برای چرخندگان جنب حاره‌ای اطلس شمالی شناسایی شده بود، در این مطالعه نیز به عنوان یک سازکار برای رخداد

1. Hobbs. et al

2. Schultz and Doswell

3 .Evans and Braun



یک زیر مجموعه ای از چرخنده ای اطلس جنوبی شناسایی شد. افزون بر این، ایشان، چرخندزایی بادپناه در دامنه های شرقی رشته کوه آند در بزرگ (که یک منطقه مساعد برای همرفت است) را به عنوان سازکاری دیگر برای پیدایش چرخنده ای جنوب حاره ای اطلس جنوبی شناسایی کردند. بوث و همکاران^۱ (۱۵۱۰: ۲۰۱۵) در مطالعه ای به بررسی رابطه بین رخداد باده ای زمستانه در شمال شرق ایالات متحده و چرخنده ای بروون حاره ای پرداختند. ایشان جهت ارزیابی فراوانی نسبی رابطه بین باد و چرخنده ای، ابتدا ۴ مسیر مشتمل بر مسیر غربی، جنوب غربی، شمال شرقی و ساحل شمالی کارولینا را برای چرخنده ای که به شمال شرق ایالات متحده نزدیک می شوند شناسایی کردند. آنگاه با بررسی فراوانی رخداد باده ای مبتنی بر این مسیرها دریافتند که مسیر جنوب غرب محتمل ترین مسیر چرخنده ای مرتبط با بیشینه فراوانی رخداد این بادها است. در این راستا پژوهش گران داخلی نیز مطالعاتی در مورد چرخندزایی انجام داده اند از جمله احمدی گیوی و نجیبی فر (۱۳۸۳: ۱) چرخندزایی بادپناه کوهستان آپ و اثر آن بر آب و هوای خاورمیانه و ایران را برای سال ۲۰۰۲ مورد بررسی قرار دادند. نامبردگان در پژوهش خود با محاسبه ضخامت لایه بین ۵۰۰ - ۱۰۰۰ هکتوپاسکال و تاوایی نسبی ۵۰۰ هکتوپاسکال، کثفشاری سطوح زیرین و وزش تاوایی نسبی را در سطوح زیرین مورد مطالعه قرار دادند. نتایج این مطالعه نشان داد که رفتار چرخنده ای بادپناهی در فصل های مختلف سال متفاوت بوده و تعداد چرخنده ای واقع در خلیج جنوا (ضعیف و قوی) در فصل سرد سال به طور قابل توجهی بیشتر از فصل گرم سال است. علیجانی (۱۳۸۵: ۳۵) در سال ۱۹۷۹ با بررسی نقشه های هوای ساعت ۱۲ زولو، مسیرهای چرخندی را به صورت دستی تعیین و مشخص کرد که چرخنده ای خاورمیانه در چهار مرکز اصلی چرخندزایی، در دریای آدریاتیک، دریای یونان، جزیره قبرس و جنوب شرق زاگرس ایجاد شده و در سه مسیر اصلی A، B و C وارد منطقه می شوند. شیرنگ (۱۳۸۷: ۳۴۶)، اثرات بلاکینگ را بر ویژگی های چرخندزایی مدیترانه موردنظر مطالعه قرار داد. نتایج این مطالعه نشان می دهند زمانی که چرخند مدیترانه ای در حضور سامانه بندالی رخ دهد، مؤلفه های افقی سرعت باد، شرقی تر و جنوبی تر می شوند. همچنین، مقادیر تاوایی نسبی و تاوایی پتانسیل، فرارفت دما، سرعت قائم، نهضتی

و در نتیجه مقادیر بارش در شرایط حضور بندال در منطقه افزایش می‌یابد. به علاوه، بندال موجب افزایش طول عمر و تغییر جهت حرکت چرخند به سمت عرض‌های جغرافیایی پایین‌تر می‌شود. حجازی‌زاده و صداقت (۱۳۸۸: ۱)، با بهره‌گیری از داده‌های بازتحلیل شده NCEP/NCAR با پوشش زمانی روزانه و تفکیک مکانی $2/5 \times 2/5$ درجه، مسیرهای چرخندی خاورمیانه را برای فصل زمستان مورد مطالعه قرار داد. نتایج این مطالعه حاکی از آن است که تأثیر ناهمواری‌ها در تشکیل نواحی چرخندزایی به مراتب بیشتر از هدایت مسیرهای چرخندها می‌باشد. جعفری‌گلو و همکاران (۱۳۸۸: ۷۱) با بررسی ۶۴ سامانه چرخندی که مقارن با ترسالی‌های غرب میانه ایران هستند، دریافتند که مراکز چرخندزایی مدیترانه، سودان، دریای سرخ و بین‌النهرین در دوره‌های ترسالی شدید به عنوان مهمترین عامل در ایجاد بارش به شمار می‌روند. همچنین، دامنه شرقی زاگرس را با تأثیرپذیری از عواملی همچون تأثیر ناهمواری‌ها و شکل ناوه و کم فشار ثانویه در پیش‌باد کوهستان زاگرس، به عنوان یک منطقه چرخندزایی ذکر کردند. عطائی و فاطمی‌نیا (۱۳۹۲: ۱۴۳) با بررسی ارتفاع ژئوپتانسیل ترازهای ۱۰۰۰، ۹۲۵، ۸۵۰، ۷۰۰، ۶۰۰ و ۵۰۰ هکتوپاسکال با گام‌های زمانی ۶ ساعته، چرخندهای ایران را طی سال ۱۳۷۶ مورد تحلیل زمانی - مکانی قرار دادند. نتایج این مطالعه حاکی از آن است که از بُعد قائم، تراز ۵۰۰ هکتوپاسکال با اختصاص $27/2$ درصد و تراز ۸۵۰ با اختصاص ۱۱ درصد از فراوانی چرخندهای واقع بر روی ایران به ترتیب بیشترین و کمترین تراز چرخندزایی را شامل می‌شوند. از منظر زمانی نیز فصل زمان به عنوان پرسامدترین فصل و تابستان به عنوان کم‌سامدترین فصل شناسایی شدند. حیدری و خوش اخلاق (۱۳۹۴: ۷۲)، با ارزیابی تأثیر گرمایش جهانی بر مرکز چرخندزایی شرق مدیترانه و ارتباط آن با ناهنجاری‌های بارش نیمه‌ی غربی ایران با استفاده از آزمون روندیابی، مدل HADGEMI و دو سناریوی AIB و A2 به این نتیجه رسیدند که روند تغییرات مؤلفه‌های فشار و دما در شرق مدیترانه افزایشی و معنادار بوده که در این خصوص بیشترین افزایش در ترازهای بالای جو اتفاق افتاده و همچنان این روند افزایشی ادامه دارد. همچنین بر پایه سناریوی A2 و AIB، در طی سه دهه اخیر مقادیر فشار تراز دریا در ابتدای دهه تا انتهای آن به ترتیب $1/7$ تا $3/2$ و $8/1$ تا $2/2$ هکتوپاسکال نسبت به متوسط فشار $1960-1990$ افزایش داشته است. به طور کلی نتایج این مطالعه نشان داد که دما و فشار جو در شرق دریای مدیترانه افزایش داشته و این افزایش



براساس نتایج مدل‌سازی تا سال ۲۰۵۰ ادامه خواهد داشت.

به طور کلی این پژوهش‌ها نشان می‌دهند که اندرکنش اختلافی سامانه‌های جوی ترازهای زیرین و زیرین جو در دامنه روبه باد کوهستان موجب شکل‌گیری و یا بازتولید چرخدن بادپناه در دامنه پشت به باد کوهستان می‌شود. از این رو به سبب تنوعی که در کوهستان‌ها وجود دارد و همچنین اندرکنش‌های متفاوتی که سامانه‌های جوی بر حسب مکان و زمان با این آنها انجام می‌هند، چرخندزایی بادپناه در یک کوهستان به رغم پیروی از دو تئوری کلی ارائه شده اما دارای الگوهای رفتاری نسبتاً متفاوتی با چرخدن بادپناه کوهستان‌های دیگر است که این موضوع مطالعه جداگانه‌ای برای فرایند چرخندزایی هر کوهستان را می‌طلبد.

در این راستا، با توجه به جهت شمالی غربی - جنوب‌شرقی کوهستان زاگرس، گستردگی عرضی و طولی تقریباً وسیع، تنوع توپوگرافیکی و همچنین در معرض قرار گرفتن بادهای غربی در بیشتر ماههای سال، معلوم می‌شود که این کوهستان سه ویژگی عمده جهت انسداد و بالابری جریان‌های نزدیک شونده به خود را دارند. از سویی این کوهستان نسبت به بادهای غربی و سامانه‌های فشار همراه آنها تقریباً به حالت عمود قرار دارند. بنابراین انتظار می‌رود که این سامانه‌ها در هنگام برخورد با کوههای زاگرس، در دامنه‌های رو به باد آنها صعود کرده و ضمن ایجاد بارش فراوان و آزادسازی گرمای نهان، سرانجام در دامنه بادپناه نزول نموده و در صورت مهیا بودن سایر شرایط، باعث تشکیل و تقویت چرخدن‌های بادپناهی شوند. در این راستا هدف از پژوهش حاضر مطالعه و بررسی شرایط چرخندزایی در بادپناه کوهستان زاگرس بوده و شناسایی اینکه چرخندزایی بادپناه زاگرس براساس کدام یک از تئوری‌ها ارائه شده برای چرخندزایی بادپناهی شکل می‌گیرد.

مواد و روش‌ها

در این پژوهش، چرخندزایی در بادپناه کوهستان زاگرس در مقیاس همدید مورد بررسی قرار گرفت. جهت سوق به این هدف نیاز به سری داده‌هایی با تفکیک فضایی و زمانی مناسب بود. بدین منظور از مجموعه پایگاه داده نگاشته شده در ECMWF^۱ ورژن ERA Interim

^۱.European Centre for Medium-Range Weather Forecasts (ECMWF)

استفاده شد. تفکیک مکانی داده‌های مورد استفاده در این مطالعه عبارت از ۲/۵ درجه در راستای قوس افقی با گام‌های ارتفاعی ۵۰ هکتوپاسکال در راستای قائم از ترازهای ارتفاعی ۱۰۰۰ تا ۲۰۰ هکتوپاسکال هستند. پایش زمانی این داده‌ها ۶ ساعته و مربوط به سال‌های ۱۹۹۹ تا ۲۰۰۵ می‌باشد. این داده‌ها شامل دمای هوای باد مداری و نصف‌النهاری، ارتفاع ژئوپتانسیل، تاوایی پتانسیل و رطوبت ویژه هستند.

بررسی‌های اولیه نشان داد که سامانه‌های ناپایدار تحت الگوهای ارتفاعی بخصوصی در تراز میانه جو از جنوب غرب، شمال غرب و غرب به دامنه‌های رو به باد زاگرس نزدیک می‌شوند. به طوری که بررسی نقشه‌های تراز میانه جو نشان داد که چگونگی آرایش ناوه و پشتۀ این تراز ارتفاعی نقش مهمی در تعیین مسیر و حرکت این سامانه‌ها به سمت زاگرس دارد چرا که بر حسب نوع واشاری و یا همشاری سیستم ناوه – پشتۀ، وزش تاوایی چرخدی چینشی، انحنایی و باد نازمینگرد آن و در نهایت مسیری که ناوه می‌پیماید متفاوت است. به طور کلی شرایط حاکم بر این سامانه‌ها و مسیری که آنها می‌پیمایند تا به زاگرس نزدیک شوند نقش مهمی در چگونگی اندرکنش آنها با زاگرس دارد. بنابراین ضرورت دارد که چگونگی نزدیک شدن این سامانه‌ها به زاگرس بررسی شود. بدین منظور، در ادامه با استفاده از معادله باد نازمینگرد (رابطه ۱) این مهم مورد بررسی قرار گرفت. زیرا باد نازمینگرد بیانگر عدم ترازمندی زمینگرد باد است و در واقع تغییر باد هم در فضا و هم در زمان سبب این عدم ترازمندی زمینگرد و ایجاد باد نازمینگرد می‌شود (لينچ و كاسانو^۲، ۲۰۰۶، ۱۲۳).

$$\vec{V}_{ag} = \frac{1}{f^2} \nabla \frac{\partial \varphi}{\partial t} + \left[\left[u_g \frac{\partial u_g}{\partial x} + v_g \frac{\partial u_g}{\partial y} \right] \hat{i} + \left[u_g \frac{\partial v_g}{\partial x} + v_g \frac{\partial v_g}{\partial y} \right] \hat{j} \right] \quad (1)$$

در رابطه ۱، \vec{V}_{ag} مولفه باد نازمینگرد، f پارامتر کوریولیس، t زمان، φ ارتفاع ژئوپتانسیل، u_g و v_g به ترتیب مولفه‌های زمینگرد باد مداری و نصف‌النهاری، x و y نیز به ترتیب



راستای مداری و نصفالنهاری هستند. مولفه‌های باد نازمینگرد (رابطه ۱) در جهت افقی شامل مولفه باد همگرایش فشار و مولفه وزش هستند که همگرایی مولفه اولی و واگرایی مولفه دومی سبب افت ارتفاع ژئوپتانسیل می‌شود (هولتن^۳: ۲۰۰۴، ۱۷۳). مولفه وزش شامل واشاری - همشاری (بخش اول داخل کروشه) و عبارت انحنای (بخش دوم داخل کروشه) بوده که تعیین مکان واشاری و همساری امواج جوی می‌تواند گویایی حرکت شمالی یا جنوبی موج باشد (بلوشتاین^۴: ۱۹۹۳، ۲۰۷). در واقع این عبارت به طور ضمنی نشانده‌هندۀ محل قرارگیری بیشینه سرعت باد و در نتیجه بیشینه وزش تاوایی است. لازم به ذکر است که قبل از تشخیص واشاری و همساری نیاز بود که محور ناوه مشخص شود بدین منظور از عبارت تاوایی انحنایی در مختصات طبیعی جهت شناسایی آن استفاده شد (رابطه ۲).

$$\zeta_c = V \frac{\partial \theta_b}{\partial s} \quad (2)$$

در رابطه ۲، ζ تاوایی انحنایی، V سرعت باد افقی، θ_b جهت باد و s راستای مسیر باد می‌باشد. در ادامه جهت تشخیص افت ارتفاع ژئوپتانسیل تراز میانه و تراز پایین به ترتیب از معادله گرایش فشار (رابطه ۳) و واگرایی باد همگرایش فشار (قسمت اول رابطه ۱) استفاده شد.

$$\left(\nabla_p^2 + \frac{f_0^2}{s} \frac{\partial^2}{\partial p^2} \right) \chi \quad (3)$$

در رابطه ۳، ∇_p^2 عملگر لاپلاس و χ عبارت از تغییرات ارتفاع ژئوپتانسیل نسبت به زمان t_0 . پارامتر کوریولیس عرض مرجع، s پایداری ایستا و p فشار هوا است.

در آخر، به سبب نقش مهمی که گرمایش بادرو بخصوص آزاد شدن گرمای نهان در تاوایی پتانسیل و به پیرو آن در گرایش ارتفاع ژئوپتانسیل ایفا می‌کند، آهنگ آزادسازی گرمای

نهان بر اساس روش ارائه شده توسط امانئول^۵ (۱۹۸۷: ۱۵۶۰) محاسبه شد.

$$H = \frac{d\theta}{dt} = \omega \left(\frac{\partial \theta}{\partial p} - \frac{\gamma_m}{\gamma_d} \frac{\theta}{\theta_e} \frac{\partial \theta_e}{\partial p} \right) \quad (۴)$$

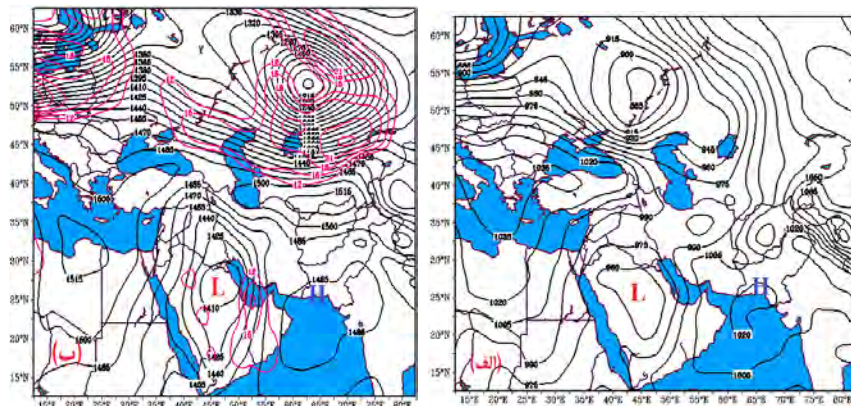
در رابطه ۴، H معرف آزادسازی گرمای نهان، ω سرعت قائم، θ_e دمای پتانسیل معادل و γ_d ، γ_m به ترتیب افت آهنگ بی دروی خشک و مرطوب هستند.

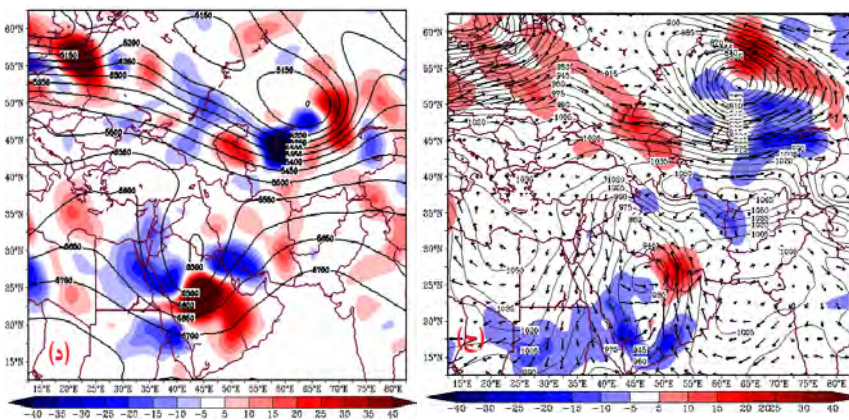
یافته‌ها

بررسی نقشه‌های ترازهای زیرین جو نشان می‌دهد که در برخی موارد چرخدندهای نزدیک شونده به دامنه‌های رو به باد زاگرس، تحت موج کزفشار تراز میانه و زیرین جو منجر به تشکیل یک چرخدنده ثانویه در بادپناه زاگرس می‌شوند. بنابراین وجود یک چرخدنده اولیه در دامنه رو به باد کوهستان زاگرس جهت شکل‌گیری چرخدنده بادپناه لازم است. بدین ترتیب ردیابی چرخدندهای نزدیک شونده به دامنه رو به باد کوهستان زاگرس نشان می‌هد که چرخدندهای که هم‌عرض و حتی بالاتر از عرض مدیترانه به سمت شرق حرکت می‌کردند در صورتی به زاگرس نزدیک می‌شدند که همراه با یک الگوی پشتہ همشار – ناوه واشار در تراز میانه جو باشند. در عین حال چرخدندهایی که همراه با یک ناوه همشار بودند در مسیر حرکت شرق‌سوی خود قبل از رسیدن به زاگرس به شمال شرق تغییر مسیر می‌دادند. از سویی چرخدندهایی که در منطقه دریایی سرخ و یا سودان تشکیل شده بودند برای رسیدن به زاگرس ضرورت داشت که تحت یک الگوی متقارن (بیشینه سرعت در پایه ناوه باشد) و یا پشتہ واشار – ناوه همشار قرار گیرند تا به زاگرس نزدیک شوند. در عین حال چرخدندهایی که در منطقه یاد شده تحت یک الگوی پشتہ همشار – ناوه واشار قرار داشتند هرگز به سمت زاگرس حرکت نمی‌کردند. بنابراین با توجه به عرض جغرافیایی چرخدنده اولیه و چگونگی آرایش پشتہ – ناوه تراز ۵۰۰ هکتوپاسکال، مسیر چرخدندهای نزدیک شونده به زاگرس متفاوت است. با این وجود در بسیاری از موارد مشاهده شد که ماهیت الگوی ناوه و پشتہ تراز ۵۰۰ هکتوپاسکال در مسیر حرکت

شرق سوی خود از واشاری به همساری و یا بالعکس تغییر می کند که این به سبب تغییر مکان رودباد در موج کژفشار اتفاق می افتد.

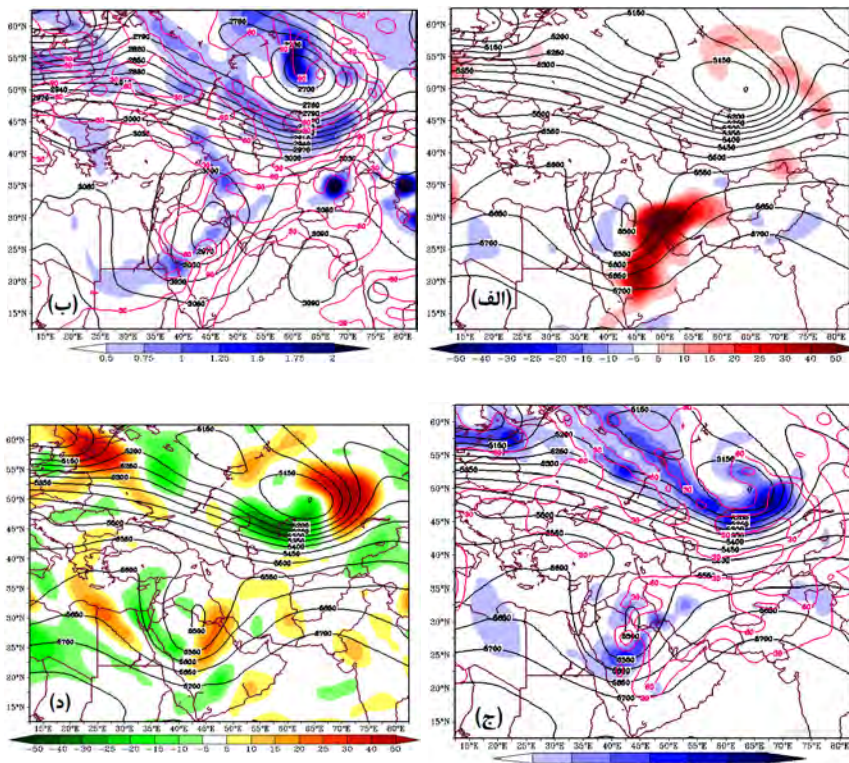
بررسی چرخندهای که از جنوب غرب به زاگرس نزدیک می شوند نشان می دهد که قبل از اینکه این چرخندها در راستای محدوده خلیج فارس و یا غرب ایران قرار گیرند یک واچرخند برروی گسترهای از دریای عمان - دریای عرب و خلیج فارس قرار دارد (شکل ۱ الف). بدین ترتیب وقتی که این چرخندها به محدوده خلیج فارس و جنوب غرب ایران نزدیک می شوند یک گردایان دمای - فشار شدید بین این دو سامانه ایجاد شده که برآیند آن شکل گیری یک رودباد تراز پایین با چینش شدید قائم است (شکل ۱ ب). اغلب این رودبادها حالت نصف النهاری داشته که موجب تشدید شار رطوبت و گرما (شکل ۱ ج) به بخش شرقی چرخند می شوند. این فرایند از یک سو سبب تشدید چرخد تراز پایین و از سوی دیگر باعث ایجاد و تشدید وزش اختلافی منفی دما نسبت به ارتفاع شده (شکل ۱ د) که به پیروی از آن باعث گرایش مثبت در ارتفاع پیش باد پشتنه می شود.





شکل ۱) الف: ارتفاع ژئوپتانسیل ساعت ۰۰ زولو. ۱۹۹۹/۲/۲۸، حرف H نماد پرشار و حرف L نماد کم فشار تراز ۹۰۰ هکتوپاسکال. ب: کنتورهای سیاه و قرمز به ترتیب نماد ارتفاع ژئوپتانسیل و رودباد تراز ۸۵۰ هکتوپاسکال. ج: کنتورهای سیاه معرف ارتفاع ژئوپتانسیل، پیکان‌ها نماد سرعت باد افقی، رنگ مشت نماد وزش گرم و رنگ منفی نماد وزش سرد تراز ۹۰۰ هکتوپاسکال. د: رنگ منفی و مشت به ترتیب معرف وزش اختلافی منفی و مشت دما، کنتورهای سیاه نماد ارتفاع ژئوپتانسیل تراز ۵۰۰ هکتوپاسکال. ب، ج و د: مربوط به ساعت ۱۲ زولو ۱۹۹۹/۳/۱ هستند.

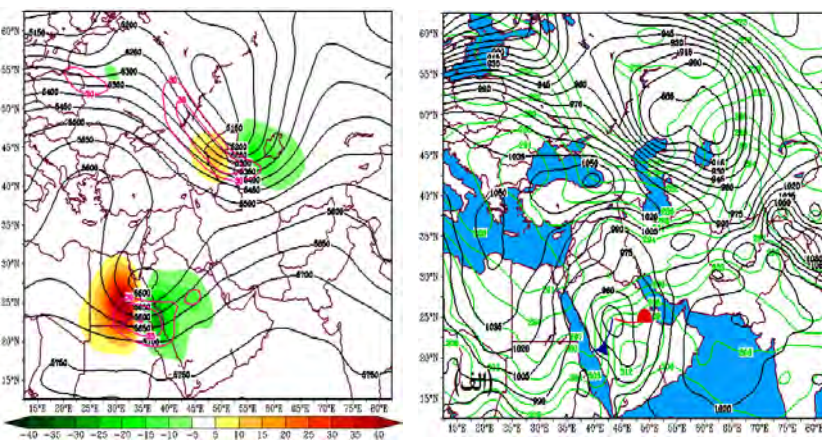
از سویی، وجود رطوبت بسیار زیاد همراه با شرایط توپوگرافیکی کوهستان زاگرس (صعود دینامیکی متاثر از زاگرس) آزاد شدن بیشینه گرمای نهان در تراز میانه جو (شکل ۱ د) ایجاد تأثیری پتانسیل در تراز ۷۰۰ تا ۵۰۰ هکتوپاسکال را به همراه دارد (شکل ۲ الف و ب) که به نوبه خود در افت ارتفاع ژئوپتانسیل ترازهای یاد شده نقش مهمی ایفا می‌کند (شکل ۲ ج).



شکل ۲) الف: رنگ‌های منفی و مثبت به ترتیب معرف آزادسازی و مصرف گرمای نهان بخار آب تراز ۵۰۰ هکتوپاسکال. ب و ج: به ترتیب نقشه تاوایی پتانسیل تراز ۷۰۰ و ۵۰۰ هکتوپاسکال، خطوط سیاه و قرمز به ترتیب معرف کنتورهای ارتفاعی و کنتورهای نم نسبی. د: رنگ مثبت و منفی به ترتیب مین افت و افزایش ارتفاع ژئوپتانسیل تراز ۵۰۰ هکتوپاسکال. کلیه این نقشه‌ها مربوط به ساعت ۱۲ زولو ۱۹۹۹/۳/۱ هستند.

بدین ترتیب در برخی موارد، گرمايش بادرو نقش تعديل کننده اثر وزش دمای اختلافی را در مورد اين چرخندها بر عهده دارد. چنانکه مشاهده شد گرمايش با ايجاد تاوایی پتانسیل در تراز ۵۰۰ و ۷۰۰ هکتوپاسکال موجب جلوگیری از افزایش ارتفاع ژئوپتانسیل ناشی از وزش اختلافی دما می‌شود. يك نمونه بارز از اين فرایند، سامانه چرخندي است که در ساعت ۱۸ زولوي ۲۸ فوريه ۱۹۹۹ در شرق دريای سرخ بروي شبه جزيره عربي (الف) تحت يك

موج با پشته همشار – ناوه همشار قرار داشت (شکل ۳ ب). بررسی نقشه ارتفاع ژئوپتانسیل تراز ۵۰۰ هکتوپاسکال آشکار کرد که انحنای شدید پشت‌باد پشته باعث همشاری پشته شده بود چرا که رودباد و بیشینه وزش تواویی چینشی در پشت باد ناوه قرار دارند و انتظار می‌رود که در ساعات آتی عملکرد این مولفه‌ها بتواند انحنای پشته و کجی مثبت ناوه را کاهش داده و سامانه ارتفاعی شکل متقارن گرفته و به سمت شمال شرق حرکت کند.

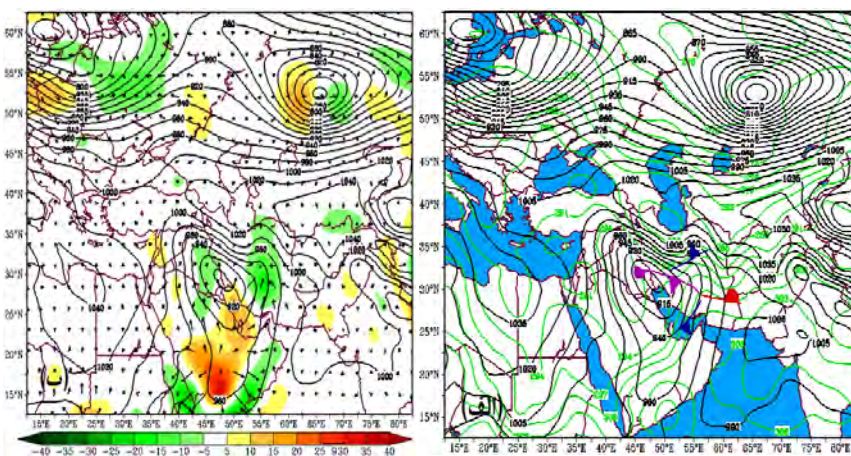


شکل ۳) الف: کنتورهای سبز رنگ و سیاه به ترتیب دمای پتانسیل و ارتفاع ژئوپتانسیل تراز ۹۰۰ هکتوپاسکال، نیم‌دایره قرمز نماد جبهه گرم و مثلث نماد جبهه سرد. ب: کنتورهای سیاه و قرمز به ترتیب معرف ارتفاع ژئوپتانسیل و رودباد تراز ۵۰۰ هکتوپاسکال، رنگ‌های مثبت و منفی به ترتیب بیان گر مناطق همشار و واشار. این نقشه‌ها مربوط به ساعت ۱۸ زولو ۲۸/۲/۱۹۹۹ هستند.

در روزهای بعد، همچنانکه چرخند به دامنه رویه باد زاگرس نزدیک می‌شود شتاب شرق سوی آن کاهش یافته، در حالی که ناوه تراز میانه جو دچار این کاهش شتاب نشده و به حرکت شرق سوی خود ادامه می‌دهد. در ساعت صفر زولوی روز ۲ مارس سامانه چرخندی در غرب زاگرس به صورت یک چرخند بندآمده متشكل از دو جبهه سرد و گرم و یک جبهه بندآمده شکل می‌گیرد. از سویی زبانه‌ای از این سامانه به سمت شرق یعنی پشت باد زاگرس کشیده شده که باعث تشکیل جبهه‌ی گرم می‌شود (شکل ۴ الف) که در محل آن افت ارتفاعی



شدیدی در دامنه پشت باد زاگرس اتفاق می‌افتد (شکل ۴ ب).

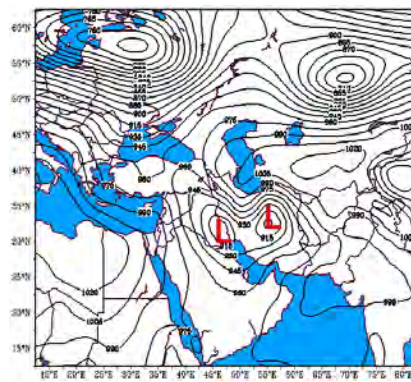


شکل ۴) الف: نیم دایره و مثلث بنفش شناسه جبهه بندآمده، مابقی مشابه شکل ۳ الف هستند. ب: رنگ‌های منفی و مثبت به ترتیب نماد همگرایی و واگرایی باد همگراییش فشار، پیکان‌ها معرف باد همگراییش فشار، خطوط کنتور ارتفاع ژئوپتانسیل. این نقشه‌ها مربوط به تراز ۹۰۰ هکتوپاسکال ساعت ۰۰ زولو ۲ مارس ۱۹۹۹ هستند.

به طور کلی این جبهه گرم نشانده‌ندی ناوه فشار مرتبط با چرخند غرب زاگرس است که زمینه جو کژفشار جهت ایجاد یک چرخند جدید را فراهم می‌کند. در ساعت ۱۲ زولوی روز ۲ مارس، ناوه تراز میانه جو خمن عبور از زاگرس موجب ناپایداری شدید منطقه کژفشار واقع در دامنه شرقی زاگرس شده که بر اثر این فرایند یک چرخند در شرق زاگرس تشکیل می‌شود. شایان ذکر است که بعد از تشکیل این سامانه، چرخند بندآمده هنوز در غرب زاگرس وجود دارد (شکل ۵).

از سویی بررسی‌های انجام شده موید آن است که سامانه‌های چرخندی جریان شمال غربی تحت یک ناوه واشار - پشته همسار در تراز میانه به سمت زاگرس حرکت می‌کنند. این سامانه‌های ارتفاعی دارای یک روبداد هستند که بیشینه سرعت آن در پیش‌باد ناوه قرار دارد (شکل ۶ الف) بنابراین وزش توابی چینشی به مرکز ناوه در تراز میانه جو نقش مهمی در

تکوین این سامانه‌ها ایفا می‌کند.

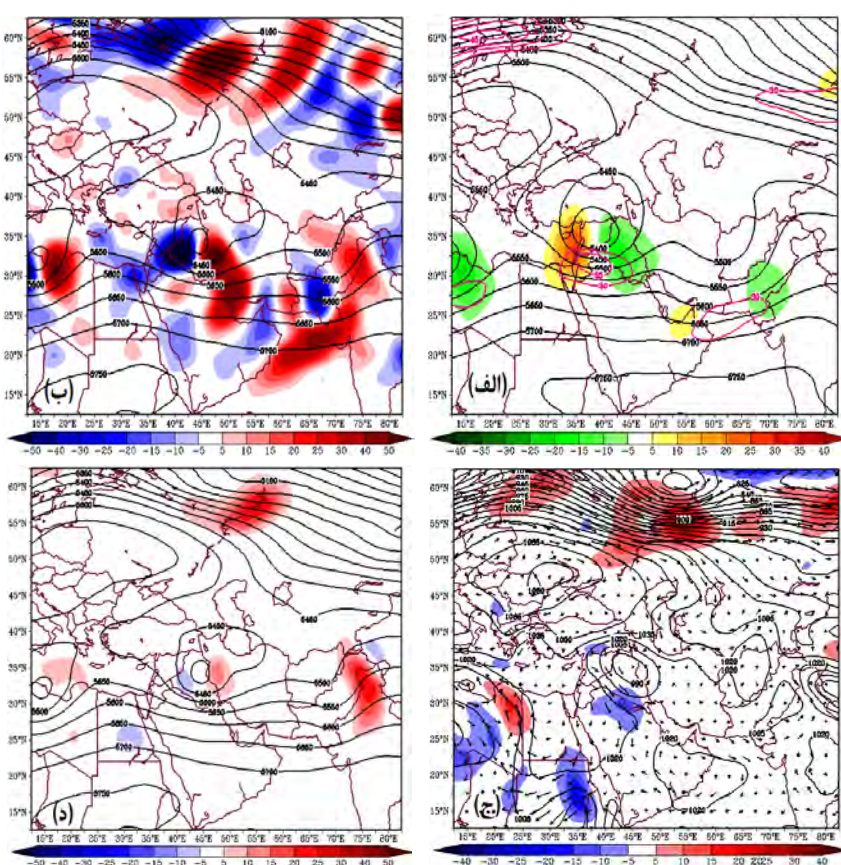


شکل ۵) نقشه ارتفاع ژئوپتانسیل تراز ۹۰۰ هکتوپاسکال ساعت ۱۲ زولو ۲ مارس ۱۹۹۹، حرف L
شناسه کم فشار.

در این راستا برخلاف سیستم ارتفاعی چرخدندهای جنوب غربی، وزش اختلافی دما مرتب‌با این سامانه‌ها در دامنه رو به باد زاگرس مثبت است (شکل ۶ ب) چرا که این سامانه‌ها از هوای گرم و مرطوب خلیج فارس بهره اندکی می‌برند (شکل ۶ ج). از این گذشته، آزاد شدن گرمان نهان در تراز میانه نیز به اندازه‌ای نیست که نقش مهمی در گرایش ارتفاع ژئوپتانسیل تراز میانه بر عهده گیرد. به طور کلی همزمان با نزدیک شدن چرخدندهای یادشده به دامنه‌های رو به باد زاگرس، یک ناوه گرمایی در دامنه پشت به باد زاگرس شکل می‌گیرد (شکل ۷ ب) در واقع این ناوه بادپناه بستر چرخند بادپناهی است که متعاقباً به وجود می‌آید. از سوی با تشکیل چرخند بادپناه، بیشینه بادهای تراز پایین بر روی دریای عمان قرار دارند که در صورت تشکیل یک رودباد تراز پایین، موجب تشدید شار گرما و رطوبت از طریق نیمه راست خروجی خود به داخل چرخند می‌شوند. بنابراین این رودباد همزمان و یا اندکی پس از تشکیل چرخند شکل می‌گیرد که وجود آن برای تداوم و تعمیق چرخند ضرورت دارد (شکل ۷ ج).

در این راستا، به عنوان نمونه به یک چرخند اولیه که در ساعت ۶۰ زولو روز ۲۰ ژانویه

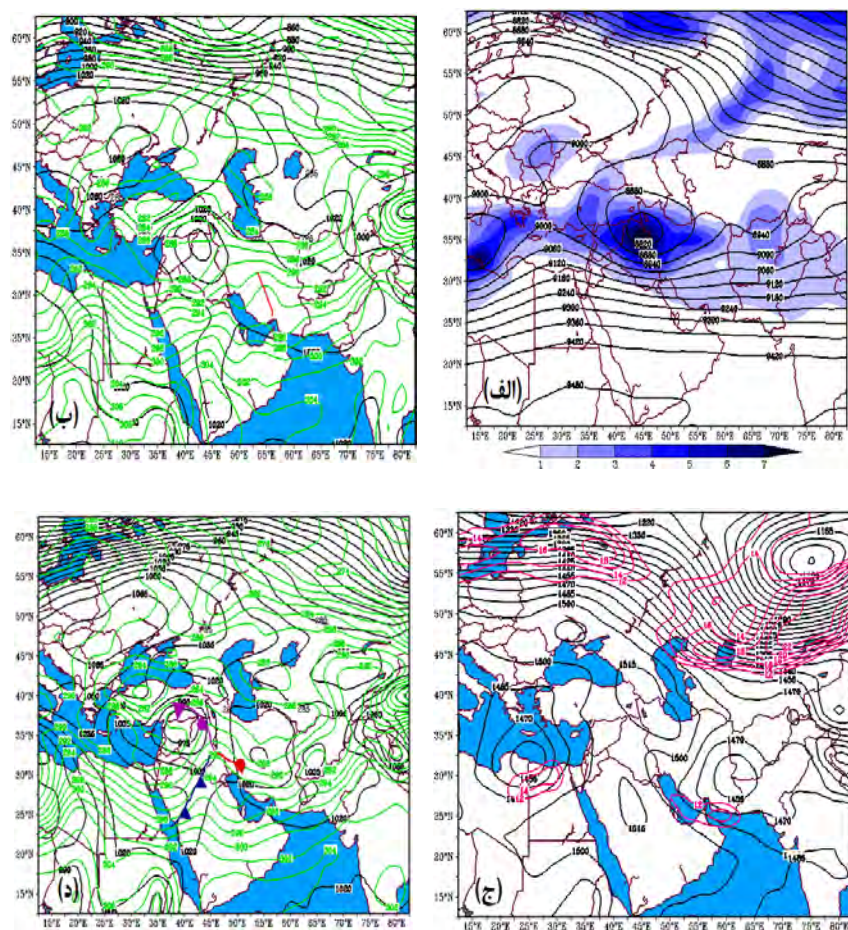
در انتهایی شمال شرق مدیرانه بروی کشور ترکیه به صورت یک سامانه بندائی شامل دو جبهه گرم و سرد و یک جبهه بندائی قرار دارد، می‌توان اشاره کرد (شکل ۷ د).



شکل ۶) الف: مشابه شکل ۳ ب بوده اما برای ساعت ۰۶ زولوی ۱/۲۰ ۱۹۹۹. شکل ب: مشابه شکل ۱. د. ج: مشابه شکل ۱. ج. د: مشابه شکل ۲. الف. شکل های ب، ج و د: مربوط به ساعت صفر زولوی ۱۹۹۹/۱/۲۱ هستند.

در این روز یک کم ارتفاع بریده با همشاری شدید در تراز ۵۰۰ هکتوباسکال وجود دارد که محور این سامانه در راستای مرکز سامانه تراز پایین قرار داشت که این مورد به نوبه خود شناسه‌ای از وجود چرخدنده بندآمده در تراز پایین است (شکل ۶ ب). در ۱۲ ساعت بعد، همزمان

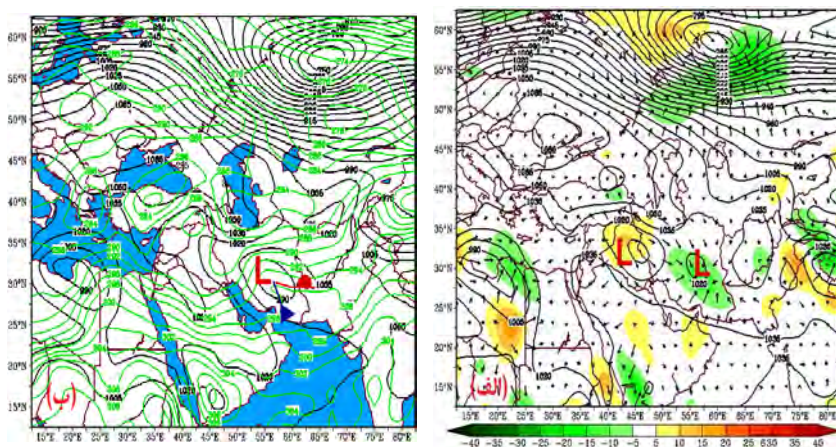
با جایه جایی این سامانه به سمت جنوب شرق یک ناوه بادپناه در دامنه پشت به باد زاگرس شکل می‌گیرد (شکل ۷ ب). در ۴۸ با قرار گرفتن این سامانه در غرب زاگرس، یک سامانه چرخندی با افت ارتفاع شدید در محل ناوه بادپناه تشکیل شده است.



شکل ۷) الف: توابیی پتانسیل ارتفاع ژئوپتانسیل تراز ۳۰۰ هکتوپاسکال ساعت صفر زولو ۹۹۹۹/۱/۲۱
ب: خطوط سبز و سیاه به ترتیب دمای پتانسیل و ارتفاع ژئوپتانسیل، خط قرمز نماد ناوه بادپناه تراز ۹۰۰

هکتوپاسکال ساعت ۱۸ زولو ۱۹۹۹/۱/۲۰. ج: کنتورها و نمادها مشابه شکل ۱ ب ساعت صفر زولو ۱۹۹۹/۱/۲۲ و د: کنتورها و نمادها مشابه شکل ۳ ب و ۴ اما برای ساعت ۶ زولو ۱۹۹۹/۱/۲۰

در ۵۴ ساعت بعد، یعنی ۱۲ زولو ۱/۲۱، با عبور ناوه ارتفاعی تراز میانه از زاگرس و قرارگیری پشت باد آن در امتداد سامانه چرخدنی، چرخدنید یاد شده خمن تقویت به سمت جنوب شرق حرکت کرده است.



شکل ۸) االف: کنتورهای سیاه معرف ارتفاع ژئوپتانسیل، پیکانها نماد باد همگرایش فشار، رنگ منفی و مثبت به ترتیب معرف همگرایی و واگرایی باد همگرایش فشار، حرف L نماد کم فشار ساعت ۶ زولو ۱۹۹۹/۱/۲۱. ب: کنتورهای سیاه و سبز به ترتیب معرف ارتفاع ژئوپتانسیل و دمای پتانسیل، نیم دایره قرم و مثلث آبی نماد به ترتیب نماد جبهه گرم و سرد ۱۲ زولو ۱۹۹۹/۱/۲۱. االف و ب متعلق به ارتفاع ژئوپتانسیل تراز ۹۰۰ هکتوپاسکال.

بدیهی است که این سامانه دارای دو جبهه سرد و گرم بوده و معرف یک چرخدنید جدید است (شکل ۸ ب) در صورتی که چرخدنید اولیه در غرب زاگرس با جبهه‌های گرم، سرد و بندآمده نشانده‌نده یک چرخدنید در حال فرو پاشی بود.

نتیجه‌گیری

این پژوهش با هدف بررسی گونه‌ای از چرخدندهای بادپناه که در طی سال‌های ۱۹۹۹ تا

۲۰۰۵ در پشت باد کوهستان زاگرس اتفاق افتاده بودند انجام گرفت. نتایج بررسی‌های انجام شده نشان داد که جهت شکل‌گیری چنین سامانه‌های در بادپناه کوهستان زاگرس، وجود یک چرخند اولیه در دامنه رو به باد آن ضرورت دارد. از این نظر مشخص شد که این چرخند های اولیه تحت سامانه‌های ارتفاعی جریان‌های غربی از شمال غرب و جنوب غرب به سمت دامنه‌های رو به باد زاگرس حرکت می‌کنند که این دستاورد با نتایج مطالعه علیجانی (۱۳۸۵: ۳۵) حجاری‌زاده و صداقت (۱۳۸۹: ۱) و لشکری (۱۳۳: ۱) همسو است. افزون بر این، در مطالعه حاضر روشن شد که آرایش و نوع سیستم پشته و ناوه یعنی همشاری - واشاری موج ترازهای میانه و زبرین جو و موقعیت جغرافیایی این چرخند اولیه نقش ضروری در تعیین مسیر آنها به سمت زاگرس بر عهده دارند. بنابراین مشخص شد که بر پایه چه شرایط همدید - دینامیکی در ترازهای زبرین جو، چرخندها به سمت زاگرس حرکت می‌کنند. وانگهی، از آنجای که وجود یک چرخند اولیه پیش‌شرط رخداد چنین چرخندزایی در دامنه بادپناه زاگرس بود لذا چرخندزایی در این منطقه براساس تئوری تغییل‌سازی اروگرافیکی ناپایداری کژفشار تبیین می‌شود.

به طور کلی بررسی‌های انجام شده در مورد چرخند های که از جنوب غرب به دامنه بادپناه زاگرس می‌رسند نشان داد که همزمان با نزدیک شدن این چرخندها به زاگرس یک رودبار تراز پایین به طور نصف النهاری ببروی خلیج فارس تشکیل شده که با شار شدید دما و رطوبت به نیمه شرقی چرخند سبب تقویت آن در دامنه‌های پیش باد زاگرس می‌شود. از این گذشته با نزدیک شدن چرخند به زاگرس شتاب آن در تراز پایین کاهش می‌یابد در صورتی که ناوه تراز بالا به حرکت خود ادامه می‌دهد به طوری که محور شدیدترین انحنای چرخندی ناوه در راستای مرکز چرخند تراز پایین قرار می‌گیرد و حلقه‌های از همدماهای سرد پیرامون بخش‌های از چرخند را احاطه می‌کنند. بدین ترتیب چرخند در پیش‌باد زاگرس وارد مرحله بندایی می‌شود. در ادامه، ناوه تراز میانه جو ضمن عبور از زاگرس با تأثیرپذیری از این چرخند بندآمده بر روی منطقه‌ی کژفشاری که همزمان در بادپناه زاگرس شکل گرفته قرار می‌گیرد و باعث چرخندزایی در بادپناه زاگرس می‌شود. از سوی دیگر، همزمان با نزدیک شدن سامانه‌های شمال غربی به زاگرس یک ناوه بادپناه در پشت باد آن تشکیل می‌شود که با قرارگیری سامانه



ارتفاعی تراز بالا برروی این ناوه بادپناه، چرخندزایی بادپناه از طریقی دیگر اتفاق می‌افتد که این یافته با نتیجه مطالعه علیجانی (۱۳۸۵: ۳۵) مطابقت دارد که در جنوب شرق زاگرس چرخد تشکیل می‌شود.

منابع

- احمدی گیوی، فرهنگ؛ نجیبی فر، یونس، (۱۳۸۳)، «مطالعه چرخندزایی در پشت به باد کوه‌های آلپ و اثر آن بر آب و هوای خاورمیانه برای دوره‌ی یک ساله»، نشریه فیزیک و فضای، شماره ۲، صص ۱۹-۱.
- جعفر بیگلو، منصور، خوش اخلاق، فرامرز و اوجی، روح...، (۱۳۸۸)، موقعیت و فراوانی فضای مسیرهای چرخدی در ترسالی‌های غرب میانی ایران. پژوهش‌های جغرافیای طبیعی شماره ۶۸، صص ۷۱-۸۴.
- حجازی‌زاده، زهرا؛ صداقت، مهدی، (۱۳۸۸)، «مسیریابی رقومی سیکلون‌های خاورمیانه در دوره سرد سال»، پژوهش‌های جغرافیای طبیعی، شماره ۶۹ صص ۱-۱۷.
- حیدری، محمد امین؛ خوش اخلاق، فرامرز، (۱۳۹۴)، اثر گرمایش جهانی بر مرکز چرخندزایی شرق مدیترانه و ارتباط آن با ناهنجاری بارش نیمه غربی ایران، نشریه مطالعات جغرافیایی مناطق خشک، شماره ۲، صص ۷۲-۸۸.
- شبرنگ، لاله؛ ایرانزاد، پروین؛ احمدی گیوی، فرهنگ، (۱۳۸۷)، «اثر بلاکینگ در چرخندزایی دریای مدیترانه»، سیندهمین کنفرانس ژئوفیزیک ایران، تهران، صص ۳۴۶-۳۴۹.
- عطائی، هوشمند؛ فاطمی‌نیا، فخری، (۱۳۹۲)، تحلیل زمانی - مکانی چرخدی‌های ایران در سال ۱۳۷۶ خورشیدی، تحقیقات جغرافیایی، شماره ۱۰۸، صص ۱۴۳-۱۶۲.
- علیجانی، بهلول، (۱۳۸۵)، «آب و هوای ایران»، انتشارات پیام نور. چاپ هفتم.
- لشکری، حسن، (۱۳۸۱)، «مسیریابی سامانه‌های کم فشار ورودی به ایران»، فصلنامه برنامه‌ریزی و آمایش فضای دانشگاه مدرس، شماره ۲ صص ۱۳۳-۱۵۷.

- مرادی، محمد؛ مشکوati، امیر حسین؛ آزادی، مجید؛ علی اکبری بیدوختی، عباسعلی، (۱۳۸۶)، «بررسی تحلیل شارش هوای روی کوهستان»، نشریه فیزیک زمین و فضا، جلد ۲۳ شماره ۱، صص ۱۳۵-۱۵۵.

- Bluestein, H.B., (1993), “*Synoptic-Dynamic Meteorology in Mild latitudes*”, V: 2, Oxford University Press. New York.
- Boot, J.F., Rieder,H.E.,Lee, D.E. and Kushnir,Y., (2015), “The paths of extratropical cyclones associated with wintertime high wind events in the Northeast United States”, *J. Applied Meteo*, vol 54, pp:1510-1522.
- Chung, C. S., K. Hage, and E. Reinelt., (1976), “On lee cyclogenesis and airflow in the Canadian Rocky Mountains and the East Asian Mountains”, *J. Mon. Wea. Rev.*, 104, 878–891.
- Davis, C. A., (1997), “The modification of baroclinic waves by the Rocky Mountains”, *J. Atmos. Sci.*, 54, 848–868.
- Emanuel, K. A., M. Fantini, and A. J. Thorpe., (1987), “Baroclinic instability in an environment of small stability to slantwise moist convection. Part I: Two-dimensional models”, *J. Atmos. Sci.*, 44, 1559–1587.
- Evans,J.L. and Braun, A., (2012), “A Climatology of Subtropical Cyclones in the South Atlantic”, *J. Climate . Sci*, vol 25, pp: 7328-7340.
- Hobbs, P.V., Locatelli, J.D., and Martin, J (1996) “A new conceptual model for cyclones generated in the lee of the Rocky Mountains”, *Bull. Amer. Met. Soi.*, 77 (6): 1169–78.
- Holton, J.R., (2004), “*An Introduction to Dynamic Meteorology*”, Academic Press, New York.
- Lynch, A.H., and Cassano, J.J., (2007), “*Applied Atmospheric Dynamics*”, Academic Press, New York.
- Newton,C.W (1956), “Mechanisms of circulation change during a lee cyclogenesis”, *J. Atmos. Sci*, Vol 13.pp 528-539.



- Pichler, H. and R. Steinacker., (1987), “On the synoptics and dynamics of orographically induced cyclones in the Mediterranean”, *J. Meteor. Atmos. Phys.*, 36, 108–117.
- Schultz, D.M. and Doswell, C.A., (2000), “Analyzing and Forecasting Rocky Mountain Lee Cyclogenesis Often Associated with Strong Winds”, *J. Atmos. Sci.*, v: 15, pp: 152-173.
- Smith, R. B (1984), “A theory of lee cyclogenesis”, *J. Atmos. Sci.*, 41, 1159–1168.
- Speranza, A., A. Buzzi, A. Trevisan, and P. Malguzzi., (1985), “A theory of deep cyclogenesis in the lee of the Alps: Part I, Modification of baroclinic instability by localized topography”, *J. Atmos. Sci.*, 42, 1521–1535.
- Tibaldi, S., A. Buzzi, and A. Speranza., (1990), “Orographic cyclogenesis. In Extra tropical Cyclones”, *J. Atmos. Sci.*, 107–28.